

有限元方法 II 上机报告 (一)

陈伟 1901110037

对 Poisson 方程

$$\begin{cases} -\Delta u = f & \text{in } \Omega \subset \mathbb{R}^2, \\ u = g_D & \text{on } \Gamma_D, \\ \frac{\partial u}{\partial n} = g_N & \text{on } \Gamma_N = \partial\Omega \setminus \Gamma_D, \end{cases}$$

其中 $\Omega = (0, 1)^2$, $\Gamma_D = \{(0, y) \cup (1, y)\}$. 分别 \mathcal{P}_1 Lagrange 元, $\mathcal{P}_3(\mathcal{P}_4)$ Hermite 元来解该问题. 对于给定特定的 u , 可以确定源项 f , 边界项 g_D, g_N , 比较数值实验误差结果的 H^1, L^2, L^∞ 范数.

下面分别先导出该有限元问题, 再给出三个元对应的基函数, 由于是基于 ifem 软件包写的程序, 故我们只需再说明局部基函数到整体基函数的对应关系即可, 最后是数值结果讨论.

1 有限元问题

取 $v \in H^1(\Omega)$, 并分别在第一项左右两端乘上 v , 再在整个区域 Ω 上积分有

$$\begin{aligned} \int_{\Omega} f v dx &= \int_{\Omega} -\Delta u v dx \\ &= \int_{\Omega} -\operatorname{div}(v \nabla u) + \nabla v \cdot \nabla u dx \\ &= \int_{\Gamma_D} -v \frac{\partial u}{\partial n} ds + \int_{\Gamma_N} v g_N ds + \int_{\Omega} \nabla v \cdot \nabla u dx \end{aligned}$$

取 $V_0 = \{v \in H^1(\Omega), | v|_{\Gamma_D=0}\}$, $V = \{v \in H^1(\Omega), | v|_{\Gamma_D} = g_D\}$, 并记 $a(u, v) = \int_{\Omega} \nabla v \cdot \nabla u dx$ 这样原问题的若形式为即变为 $\text{Find } u \in V, \text{ s.t. } \forall v \in V_0, a(u, v) = \int_{\Omega} f v dx + \int_{\Gamma_N} v g_N ds$ 成立.

设 $V_{0,n}, V_n$ 分别为 V_0, V 的有限维子空间. 该有限元问题也即是

$$\text{Find } u_h \in V_n, \text{ s.t. } \forall v_h \in V_{0,n}, a(u_h, v_h) = \int_{\Omega} f v_h dx + \int_{\Gamma_N} v g_N ds$$

成立, 对于给定基函数下, 该问题也即变为求解线性方程组 $Ax = b$ 的问题.

2 基函数

对于给定的单元 K

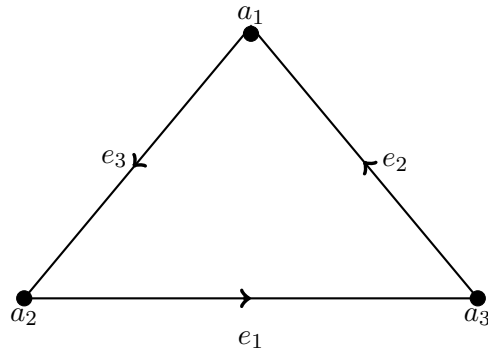


图 1:

以及其重心坐标, $\lambda_1, \lambda_2, \lambda_3$. 下面先分别讨论其基函数.

2.1 \mathcal{P}_1 Lagrange 元

由 $V_{Lag\mathcal{P}_1} = \{v \in H^1(\Omega), | v|_K \in \mathcal{P}_1\}$, 故只需确定其局部基函数即可. 由 *Lagrange* 元的局部基函数的自由度为 $\mathcal{N}_i(v) = v(a_i), i = 1, 2, 3$. 故对应的基函数为: $\lambda_1, \lambda_2, \lambda_3$

2.2 \mathcal{P}_3 Hermite 元

由 $V_{Her\mathcal{P}_3} = \{v \in H^1(\Omega), | v|_K \in \mathcal{P}_3\}$, 且其自由度如下

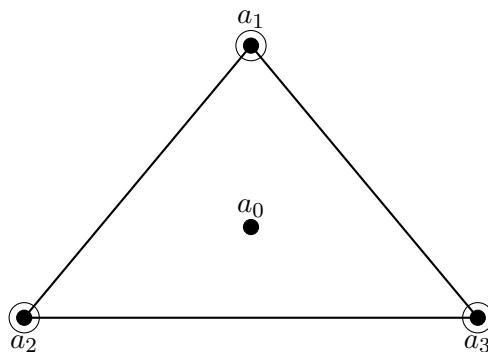


图 2:

具体写出来即是

$$\begin{cases} \mathcal{N}_i(v) = v(a_i), i = 0, 1, 2, 3 \\ \mathcal{N}_{i,x}(v) = \frac{\partial v}{\partial x}(a_i), i = 1, 2, 3 \\ \mathcal{N}_{i,y}(v) = \frac{\partial v}{\partial y}(a_i), i = 1, 2, 3 \end{cases}$$

在重心坐标表示下: $\mathcal{P}_3 = \text{span}\{\boldsymbol{\lambda}^\alpha, | |\alpha| = 3\}$, 其中 $\boldsymbol{\lambda} = (\lambda_1, \lambda_2, \lambda_3)^T$, α 为三重指标. 进而任对 $p \in \mathcal{P}_3$, 有: $p = \sum_{|\alpha|=3} c_\alpha \boldsymbol{\lambda}^\alpha$. 由于自由度中会涉及导数, 故我们先计算 $\nabla \lambda_i$. 如图 1 我们重假定 K 是定向的, 也即是 $a_i, i = 1, 2, 3$ 的位置满足是逆时针的. 且 $e_1 = a_3 - a_2, e_2 = a_1 - a_3, e_3 = a_2 - a_1$, 为三条边的顺序. 这样 $e_i^\perp := (-e_{i,2}, e_{i,1})^T$ 总是从第 i 条边垂直指向 a_i 的. 设 h_i 为 a_i 到边 e_i 的垂直距离, 故 $e_i^\perp \cdot e_{i+1} = h_i |e_i| = 2S$, 其中 S 为该三角形面积. 故 $\nabla \lambda_i = \frac{e_i^\perp}{2S}$. 设 $\phi_i = \sum_{|\alpha|=3} c_{\alpha,i} \boldsymbol{\lambda}^\alpha, i = 1, 2, 3, \dots, 12$ 为第 i 个自由度对应的基函数, 这样有 $\mathcal{N}_j(\phi_i) = \delta_{i,j}$, 以此来求解得对应的基函数为:

$$\mathcal{N}_i : \phi_i = 3\lambda_i^2 - 2\lambda_i^3 - 7\lambda_1\lambda_2\lambda_3, \quad i = 1, 2, 3$$

$$\mathcal{N}_0 : \phi_0 = 27\lambda_1\lambda_2\lambda_3,$$

$$\begin{aligned} \mathcal{N}_{i,x} : \phi_{x,i} &= \lambda_i^2 [\lambda_{i+1}(a_{i+1,1} - a_{i,1}) + \lambda_{i-1}(a_{i-1,1} - a_{i,1})] \\ &\quad - (a_{i+1,1} + a_{i-1,1} - 2a_{i,1})\lambda_1\lambda_2\lambda_3, \quad i = 1, 2, 3 \end{aligned}$$

$$\begin{aligned} \mathcal{N}_{i,y} : \phi_{y,i} &= \lambda_i^2 [\lambda_{i+1}(a_{i+1,2} - a_{i,2}) + \lambda_{i-1}(a_{i-1,2} - a_{i,2})] \\ &\quad - (a_{i+1,2} + a_{i-1,2} - 2a_{i,2})\lambda_1\lambda_2\lambda_3, \quad i = 1, 2, 3 \end{aligned}$$

其中 i 是以 3 为周期的轮换指标. 如 $i = 1$ 时, $i - 1$ 也即对应 3, $i = 3$ 时, $i + 1$ 也即对应 1.

2.3 \mathcal{P}_4 Hermite 元

同样有 $V_{Her\mathcal{P}_4} = \{v \in H^1(\Omega), | v|_K \in \mathcal{P}_4\}$, 且其自由度如下

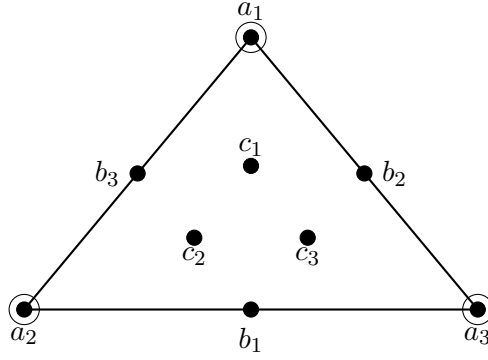


图 3:

写出来也即是

$$\begin{cases} \mathcal{N}_i^1(v) = v(a_i), & i = 1, 2, 3 \\ \mathcal{N}_i^2(v) = v(b_i), & i = 1, 2, 3 \\ \mathcal{N}_i^3(v) = v(c_i), & i = 1, 2, 3 \\ \mathcal{N}_{i,x}(v) = \frac{\partial v}{\partial x}(a_i), & i = 1, 2, 3 \\ \mathcal{N}_{i,y}(v) = \frac{\partial v}{\partial y}(a_i), & i = 1, 2, 3. \end{cases}$$

同样在重心坐标表示下: $\mathcal{P}_4 = \text{span}\{\boldsymbol{\lambda}^\alpha, |\alpha| = 4\}$, 以此来求得的基函数如下:

$$\mathcal{N}_i^1 : \phi_i^1 = 4\lambda_i^3 - 3\lambda_i^4 - 5\lambda_i^2(\lambda_{i+1}^2 + \lambda_{i-1}^2) + \lambda_1\lambda_2\lambda_3(8 - 26\lambda_i), \quad i = 1, 2, 3,$$

$$\mathcal{N}_i^2 : \phi_i^2 = \lambda_1\lambda_2\lambda_3(24\lambda_i - 14) + 16\lambda_{i-1}^2\lambda_{i+1}^2, \quad i = 1, 2, 3,$$

$$\mathcal{N}_i^3 : \phi_i^3 = 32\lambda_1\lambda_2\lambda_3(4\lambda_i - 1), \quad i = 1, 2, 3,$$

$$\begin{aligned} \mathcal{N}_{i,x} : \phi_{x,i} &= \lambda_i^3 \left(\sum_{j=1}^3 \lambda_j a_{j,1} - a_{i,1} \right) + \lambda_i^2 \left[a_{i,1}(\lambda_{i-1}^2 + \lambda_{i+1}^2) - (a_{i-1,1}\lambda_{i-1}^2 + a_{i+1,1}\lambda_{i+1}^2) \right] \\ &+ \frac{1}{4}\lambda_1\lambda_2\lambda_3 [a_{i,1}(20\lambda_i - 6) + a_{i-1,1}(4\lambda_{i-1} - 8\lambda_i + 1) + a_{i+1,1}(4\lambda_{i+1} - 8\lambda_i + 1)], \quad i = 1, 2, 3, \end{aligned}$$

$$\begin{aligned} \mathcal{N}_{i,y} : \phi_{y,i} &= \lambda_i^3 \left(\sum_{j=1}^3 \lambda_j a_{j,2} - a_{i,2} \right) + \lambda_i^2 \left[a_{i,2}(\lambda_{i-1}^2 + \lambda_{i+1}^2) - (a_{i-1,2}\lambda_{i-1}^2 + a_{i+1,2}\lambda_{i+1}^2) \right] \\ &+ \frac{1}{4}\lambda_1\lambda_2\lambda_3 [a_{i,2}(20\lambda_i - 6) + a_{i-1,2}(4\lambda_{i-1} - 8\lambda_i + 1) + a_{i+1,2}(4\lambda_{i+1} - 8\lambda_i + 1)], \quad i = 1, 2, 3. \end{aligned}$$

这样便定义好了局部基函数,, 要得到整体基函数, 就还需要局部基函数到整体基函数的对应关系.

3 Elemdof

由 ifem 软件包中局部到整体的基函数一般是由 **elemdof** 给出的. 其中 **elemdof** 是一个 $NT \times m$ 的向量组, 其中 NT 是单元总个数, m 是单元局部基函数的个数. **elemdof(i,j)** 表示的是第 **i** 个单元的第 **j** 个基函数对应于整体基函数的位置.

3.1 \mathcal{P}_1 Lagrange 元

由其自由度为顶点的赋值, 故可直接按照局部点到整体点对应关系给出. 即: **elemdof** = **elem**. 其中 **elem** 为 $NT \times 3$ 的向量组, **elem(i,j)** 表示第 **i** 个单元的第 **j** 个顶点在所有顶点中的序号.

3.2 \mathcal{P}_3 Hermite 元

其自由度可以分为两大类, 一类是与单元体有关的, 即 \mathcal{N}_0 , 还有一类是于顶点有关的, 即 $\mathcal{N}_i, \mathcal{N}_{i,x}, \mathcal{N}_{i,y}$. 这样其对应关系可如下给出:

$$\mathbf{elemdof} = [\mathbf{elem}, \mathbf{elem} + \mathbf{ND}, \mathbf{elem} + 2\mathbf{ND}, 3 * \mathbf{ND} + (1 : \mathbf{NT})']$$

上式是按 matlab 语言给出的, 其中 **ND** 为节点的总个数.

3.3 \mathcal{P}_4 Hermite 元

其自由度也可分为三大类, 一类是和边有关的: \mathcal{N}_i^2 , 一类是和单元体有关的: \mathcal{N}_i^3 , 还有一类是和顶点有关的: $\mathcal{N}_i^1, \mathcal{N}_{i,x}, \mathcal{N}_{i,y}$, 这样对应关系可如下给出:

$$\mathbf{elemdof} = [\mathbf{elem}, \mathbf{elem} + \mathbf{ND}, \mathbf{elem} + 2\mathbf{ND}, \mathbf{elemedge} + 3\mathbf{ND}, 3\mathbf{ND} + \mathbf{NE} + (1 : \mathbf{NT})', \dots \\ 3\mathbf{ND} + \mathbf{NE} + \mathbf{NT} + (1 : \mathbf{NT})', 3\mathbf{ND} + \mathbf{NE} + 2\mathbf{NT} + (1 : \mathbf{NT})']$$

其中 **NE** 为边的总数, **elemedge** 是 $\mathbf{NT} \times 3$ 的向量组, **elemedge(i,j)** 表示第 **i** 个单元的第 **j** 条边在所有边中的序号.

4 数值结果

一方面三种有限元空间 V_h 都是 V 的子空间, 即是协调元. 有

$$a(u - u_h, v) = 0, \forall v \in V_{h,0}$$

且 $u - u_h \in V_0$, 在 V_0 上 $a(\cdot, \cdot)$ 有强制性条件, 故有

$$\begin{aligned} \alpha \|u - u_h\|^2 &\leq a(u - u_h, u - u_h) \\ &\leq a(u - u_h, u - v) + a(u - u_h, v - u_h) \\ &\leq M \|u - u_h\| \|u - v\|, \quad \forall v \in V_h \end{aligned}$$

也即是: $\|u - u_h\| \leq \frac{M}{\alpha} \inf_{v \in V_h} \|u - v\|$, 即是空间的逼近误差.

再另 w 为方程

$$\begin{cases} -\Delta w = u - u_h & \text{in } \Omega \subset \mathbb{R}^2, \\ u = g_N & \text{on } \Gamma_D, \\ \frac{\partial u}{\partial n} = 0 & \text{on } \Gamma_N = \partial\Omega \setminus \Gamma_D, \end{cases}$$

则有

$$\begin{aligned} \|u - u_h\|_{L^2}^2 &= (-\Delta w, u - u_h) \\ &= a(w, u - u_h) \\ &= a(w - v, u - u_h) \\ &\leq \|w - v\|_E \|u - u_h\|_E, \quad \forall v \in V_h \end{aligned}$$

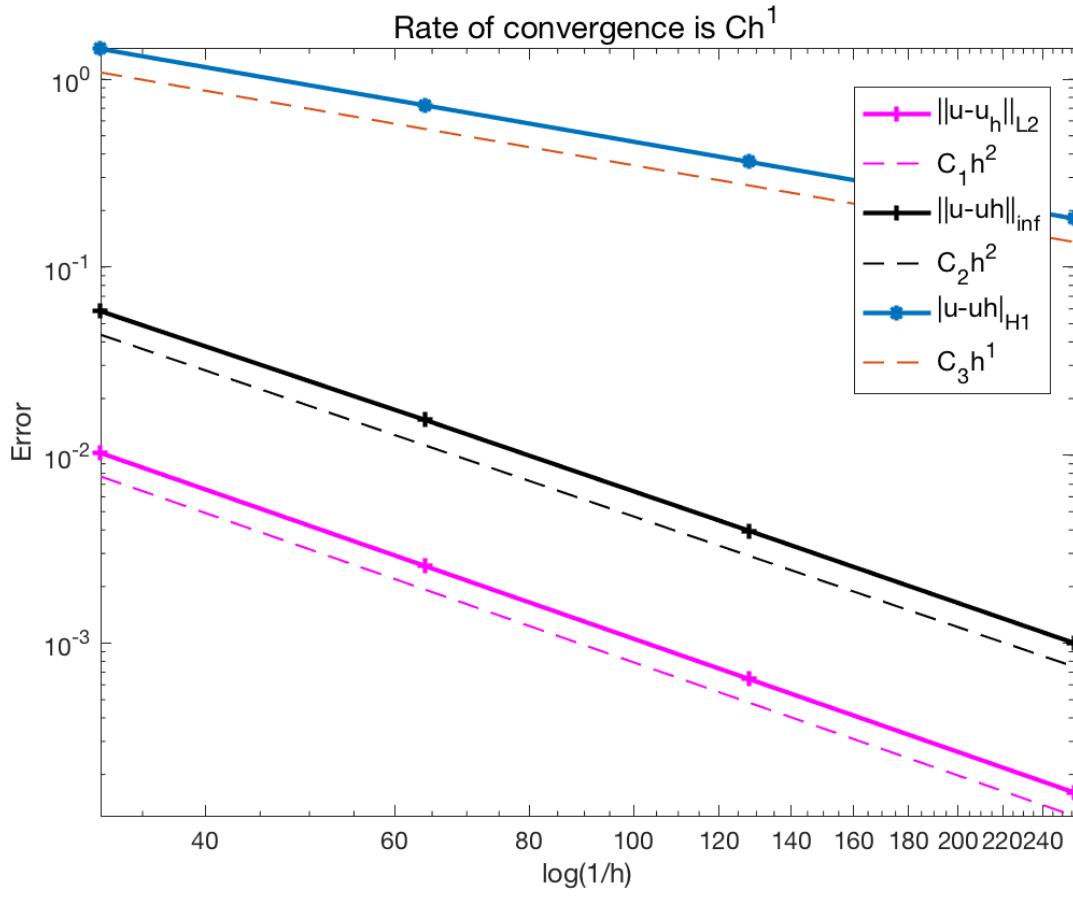
且一般有 $\inf_{v \in V_h} \|w - v\|_E \leq Ch \|\Delta w\|_{L^2}$, 故 $\|u - u_h\|_{L^2} \leq Ch \|u - u_h\|_E \leq \frac{CMh}{\alpha} \inf_{v \in V_h} \|u - v\|$. 再由多项式逼近理论可知, 用 Lagrange P1 元时, 其 H^1 误差和 L^2 误差分别是 1 阶和 2 阶的. 用 Hermite P3 元时, 其 H^1 误差和 L^2 误差分别是 3 阶和 4 阶的. 用 Hermite P4 元时, 其 H^1 误差和 L^2 误差分别是 4 阶和 5 阶的.

下面取:

$$u = e^{x+y}(x^3 - 2)(y^8 + 1),$$

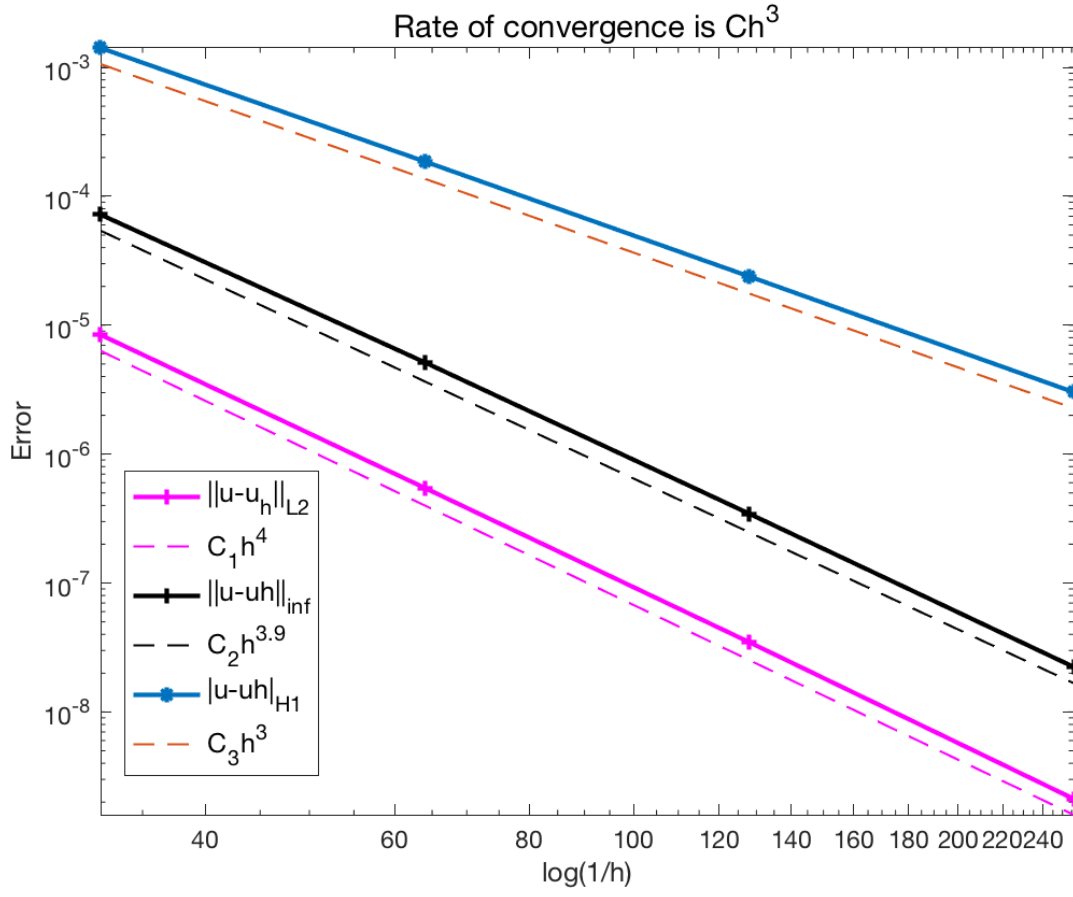
以下分别是三种元的收敛性和数值结果.

图 4: LagrangeP1 元收敛性图

表 1: P_1 Lagrange 元误差表

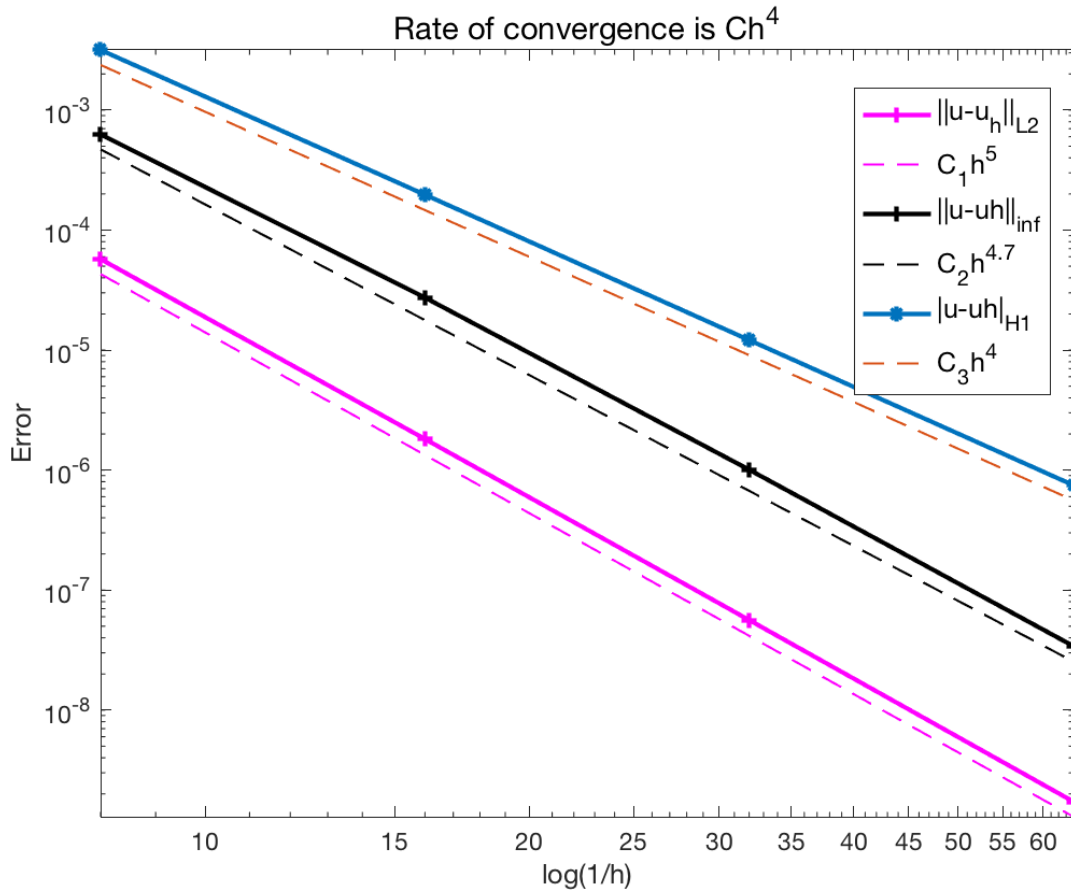
dof	h	cputime	$\ u - u_h\ _{\infty}$	rate	$\ u - u_h\ _2$	rate	$ u - u_h _1$	rate
1089	3.125e-02	2.00e-02	5.82e-02		1.02e-02		1.44e+00	
4225	1.562e-02	1.20e-01	1.54e-02	1.92	2.57e-03	1.99	7.26e-01	0.99
16641	7.812e-03	3.80e-01	3.96e-03	1.96	6.44e-04	2.00	3.63e-01	1.00
66049	3.91e-03	1.07e+00	1.00e-03	1.98	1.60e-04	2.00	1.81e-01	1.00

图 5: HermiteP3 元收敛性图

表 2: P_3 Hermite 元误差表

dof	h	cputime	$\ u - u_h\ _{\infty}$	rate	$\ u - u_h\ _2$	rate	$ u - u_h _1$	rate
5315	3.125e-02	2.00e-01	7.21e-05		8.42e-06		1.41e-03	
20867	1.562e-02	9.20e-01	5.14e-06	3.81	5.46e-07	3.95	1.86e-04	2.93
82691	7.812e-03	3.13e+00	3.45e-07	3.90	3.47e-08	3.97	2.39e-05	2.96
329219	3.906e-03	1.18e+01	2.24e-08	3.95	2.12e-09	4.03	3.03e-06	2.98

图 6: HermiteP4 元收敛性图

表 3: P_4 Hermite 元

dof	h	cputime	$\ u - u_h\ _{\infty}$	rate	$\ u - u_h\ _2$	rate	$ u - u_h _1$	rate
835	1.250e-01	3.00e-02	6.27e-04		5.73e-05		3.17e-03	
3203	6.250e-02	1.10e-01	2.74e-05	4.52	1.81e-06	4.98	1.97e-04	4.01
12547	3.125e-02	2.60e-01	1.01e-06	4.77	5.62e-08	5.01	1.21e-05	4.03
49667	1.563e-02	2.28e+00	3.41e-08	4.88	1.72e-09	5.03	7.47e-07	4.02

可以看出数值实验结果和理论基本吻合, 虽然为 Hermite P4 元时, 其 L^∞ 误差的收敛阶为 4.7, 单从误差表中可以看出, 随着网格密度提高, 其收敛阶在向 5 靠近.

上机实验的 matlab 代码是附件中名为 'Hw1lab.m' 的文件, 只需改变 'var' 的值为 'LagrangeP1', 'HermiteP3', 'HermiteP4' 中的一个, 再运行即可出现对应的结果.